

大阪セメント(株)研究所 正会員 ○中野錦一  
立命館大学 理工学部 正会員 児島恭之  
阪神高速道路公団 工務部 正会員 水元義久

## 1. はじめに

本報告は、鋼筋により拘束されるRC床版のひびわれ発生防止対策として、高強度減水剤併用コンクリート(HWR C)、鋼纖維補強コンクリート(SFRC)、膨張コンクリート(EXC)および更に橋のひびわれ発生の少ない人工軽量骨材コンクリート(LC)を普通コンクリート(CC)と対比させ、小型合成折模模型を作製し、乾燥収縮に伴う析の変形、ひずみ性状を測定した結果と、先に発表者の一人が報告した段階的積分法による合成析の収縮変形・応力解析法により解析し、各種コンクリートのひびわれ発生防止策としての有効性、および解析法の適合性の拡張を検討したものである。

## 2 実験方法

実験に用いた合成樹脂改性コンクリートの配合と硬化コンクリートの性質を表-1に示す。これらのコンクリートを用

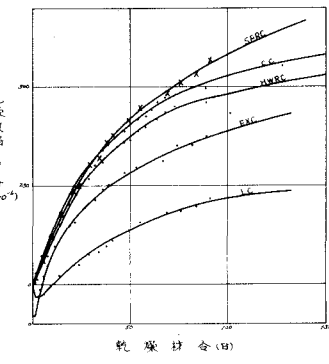
にて、全長300 cm、支間270 cm のジベル付床版に床版内の橋脚方向鉄筋比の影響を考慮するためには橋1にはD13、橋2にはD16を各々4本づつ配置した床版を打設し合成版を作製した。詳細を図-1に示す。また床版側面にはコンクリートの乾燥防止のため防水シートを貼付した。

乾燥收縮に伴う折れたわみ、鋼筋のひずみは中央部より中央より 50 cm ブラケット間に断面を床版下部のひずみは中央断面で図-1 に示す方法で測定した。折れたわみ、ひずみの測定は、20°C、湿度 60% の室内で行ない、計測の基準値は床版を脱型して残念 1 日とし以後所定日数毎の測定を開始した。

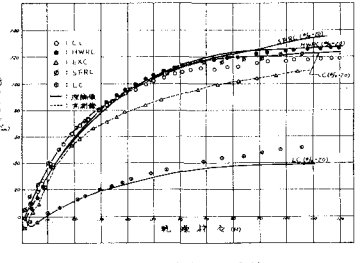
床版コンクリートの養生および乾燥は、概ね7日まで床版をビニールシートで密閉養生し、それ以降はビニールシートを除去し室内雰囲気中に暴露した。拘束の状態での床版コンクリートの乾燥収縮の測定は、体積と乾燥表面積比を床版と同一にした $12 \times 30 \times 40\text{ cm}$  ( $30 \times 40\text{ cm}$  2面の乾燥) の供試体区析と同一室内

### 3 實驗結果与討研究

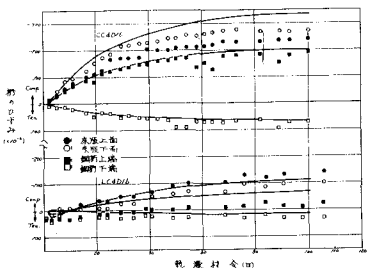
拘束試験体による乾燥収縮ひずみ、合成繊維中央のためみ、  
織EのCCおよびLC配合の床板および鋼板のひずみの実験結果  
を、図2、図3および図4に示す。  
また、図中に実測の乾燥収縮ひずみを用いてために最も適合する



### 圖二三 各種コシクルニヒの數 漢 史籍



#### IV. 人口中吸烟者的比例的兩種變化



## 乾嘉时令(二)

基本流動係数( $\phi_{f0}$ )によって上記解析法により求めた理論値も示した。

1) 乾燥収縮ひずみ 案令1日を基長とした無拘束収縮ひずみの結果からは、コンクリートの種類別にその値にかなり差があることがわかる。即ち、案令90日で比較するとCCの $500 \times 10^{-6}$ に対し単位水量が約20kg/m<sup>3</sup>増減したSFRCとHWRCCでは収縮ひずみも約 $50 \times 10^{-6}$ 増減している。一方、EXCやLCは案令初期に膨張を起し、その後、収縮に転じるがその値はCCにくらべ、それぞれ $350 \times 10^{-6}$ ,  $200 \times 10^{-6}$ と著しく小さくなっている。

2) 桁のひずみ コンクリートの種類別の影響を桁Zで代表して比較すると、CCと同程度の圧縮強度、静弹性係数であるが収縮ひずみの大きいSFRC、また収縮ひずみはいゝが静弹性係数が高くセメントペースト量が少ない(クリープひずみが小さいと推定される)HWRCCにおいては桁たわみが大きく、収縮ひずみの小さいEXCや、収縮ひずみ、静弹性係数ともに小さいLCではそれは小さくなる。特にLCではCCの1/3程度と顕著である。

解析法の各種コンクリートへの適合性は、基本流動係数をCC, SFRC, LCで $\phi_{f0}=2.0$ 、クリープの大小と推定されるHWRCCで $\phi_{f0}=1.0$ を採れば、十分な適合性が得られた。しかし、EXCの場合には初期膨張量と静弹性係数との関係、無拘束収縮と拘束収縮との関係などに未だ不明な点があり適合性は十分でなかった。このことは、EXCの場合には解析法に新たなパラメーターの導入の必要性を示唆していると考えられる。

鉄筋比の影響をCCについてみると図-5のようで、鉄筋比 $p = 1.7$ と $2.6\%$ の差でも明らかに桁の収縮変形を拘束していることがわかる。

拘束されたことによるための減少は、昨年度の実験値と同程度であり現状が確認できた。

3) 桁のひずみ CCとこれに比較して特に桁ひずみの小さいLCの結果(図-4)を見ると低收縮、低弹性係数のLCでは拘束収縮ひずみがCCの約1/3と著しく小さくなっている。

4) 拘束引張応力とひびわれ コンクリートの種類別に解析し下床版下縁に生ずる引張応力と時間との関係を桁Zについて示すと、図-6のようである。なおEXCについては解析法に候補の余地があるため除いた。この結果から拘束引張応力の最大値に達する時間は、CC, HWRCC, SFRC, LCでそれぞれ約73, 122および108日、その時の拘束引張応力はLCを除き全てコンクリートの引張強度を超えており、ひびわれの発生確率が著しく高いことを示唆している。

一方、桁のひびわれの観察結果では、図中に示したように可視ひびわれがCC, HWRCC, SFRCについて観察され、やや発見日数が最大応力に達する時期より遅れているとはいえ、工学的には十分な精度で予測されている。

#### 4まとめ

5種類のコンクリートを用いて合成桁模型によりRC床版のひびわれ防止効果を実験的に調べることと段階的積分法による応力解析法の適合性の検討を行なった。その結果、単位水量を減じたHWRCC、引張強度を改善したSFRCでもCCと同程度のひびわれが発生するが、LC, EXCでは著しく改善できること、また解析法はEXCを除き合成桁の収縮変形、拘束応力、およびひびわれ発生時期の推定に有効で適合性が高いことが明らかとなった。

参考文献 1) 保島辰之, 他. 合成桁における鉄筋コンクリート床版の乾燥収縮による初期欠陥発生機構に関する研究, 第36回 工学会年次学術講演会概要集 V-165, pp.328.

